

# Удаление невидимых граней

Компьютерная графика

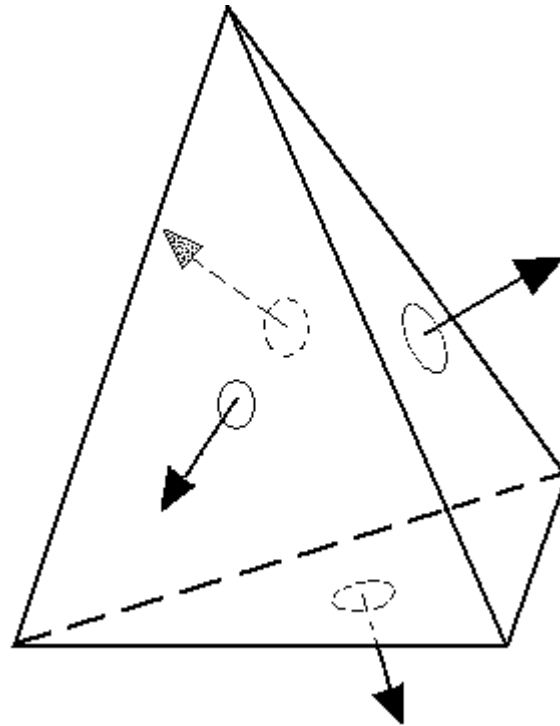
# Каркасные модели

- В 1960 году впервые были использованы формулы для преобразования 3d координат в 2d координаты в качестве основы для визуализации.
- Использовал их Уильям Феттер (William Fetter), который заодно придумал еще и термин "компьютерная графика". С помощью его программы можно было рисовать 3d объекты из линий (проволочные).



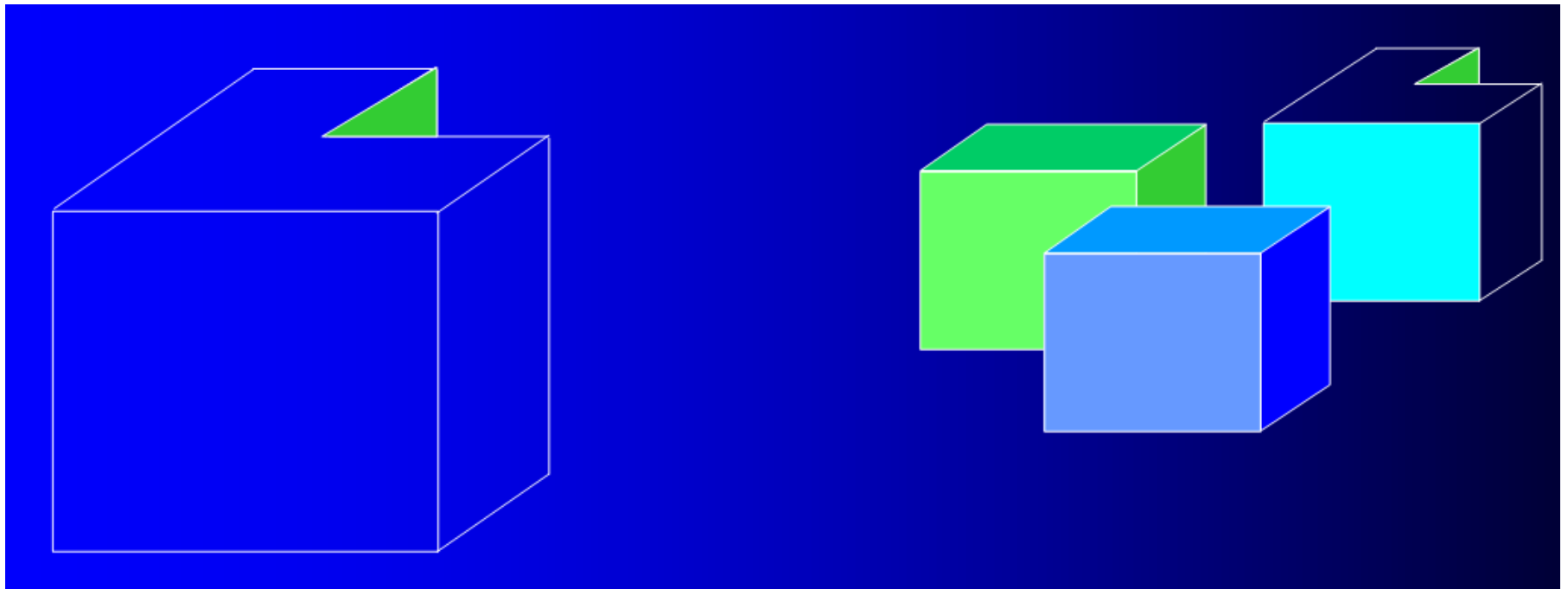
# Отсечение нелицевых граней

front-faced



back-faced

# Лицевые, но невидимые грани



# Классификация алгоритмов

## Основные идеи

### Алгоритмы 3D

- Оперлируем геом. примитивами, проверяем пересечение объектов друг с другом, в результате – список видимых объектов и их частей.
- Объекты из списка могут отображаться с любой точностью, но вычисления видимых частей – с высокой.
- Сложность алгоритмов зависит от количества объектов: в среднем для  $n$  объектов  $\rightarrow O(n^2)$

### Алгоритмы 2D

- Находим ближ. точки сцены к наблюдателю и для каждого пикселя изображения отображаем только такие точки.
- Точность на уровне разрешения устройства. Не требуется высокой точности вычислений.
- Зависимость сложности алгоритмов от числа пикселей и количества объектов: для  $s$  пикселей и  $n$  объектов  $\rightarrow O(s n)$ .

# Особенности алгоритмов: вопрос

?D

- Объект анализируется 1 раз.
- Пиксель сцены может перерисовываться несколько раз.

?D

- Пиксель сцены рисуется 1 раз.
- Отношения между объектами для данного пикселя анализируются несколько раз.

# Особенности алгоритмов: ответ

## 2D

- Объект анализируется 1 раз.
- Пиксель сцены может перерисовываться несколько раз.

## 3D

- Пиксель сцены рисуется 1 раз.
- Отношения между объектами для данного пикселя анализируются несколько раз.

# Классификация алгоритмов

## Алгоритмы 3D

- Робертса (1963)
- Алгоритм Аппеля (1967)
- Вейлера-Айзертсона (1977)
- BSP-деревьев (1969-91)

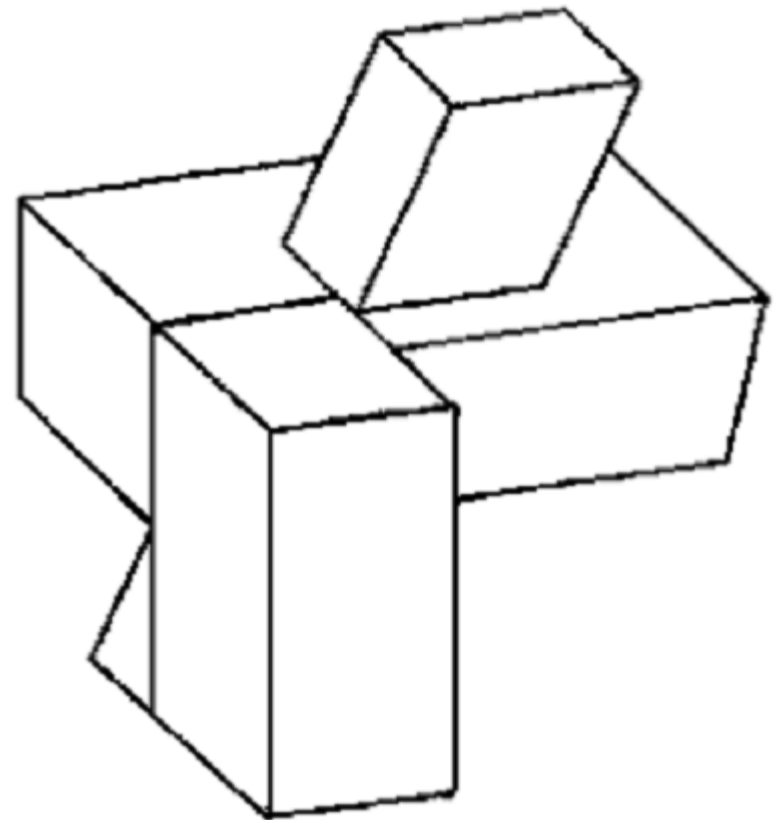
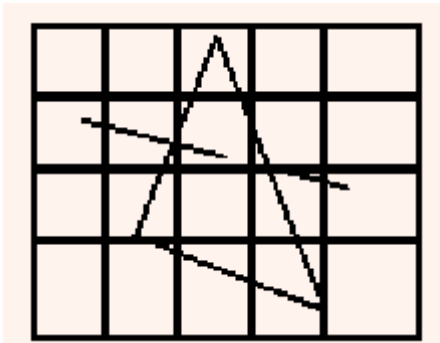
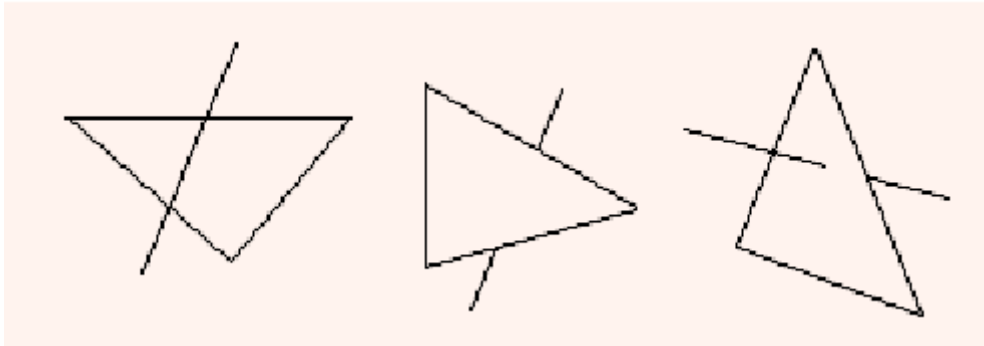
## Алгоритмы 2D

- Построчного сканирования (1967)
- Варнока (1969)
- Трассировки лучей (1968)
- Плавающего горизонта (1972)
- «Художника» + Ньюэла (1972)
- Z-буфера (1974)
- A-буфера (1984)



# Алгоритм Робертса

- Лоуренс Робертс (Lawrence Roberts)
- 1963
- $O(n^2)$



# Требования к сцене

- В алгоритме Робертса требуется, чтобы все изображаемые тела или объекты были выпуклыми.
- Невыпуклые тела должны быть разбиты на выпуклые части.
- В алгоритме выпуклое многогранное тело с плоскими гранями должно представляться набором пересекающихся плоскостей.

# Классификация алгоритмов

## Алгоритмы 3D

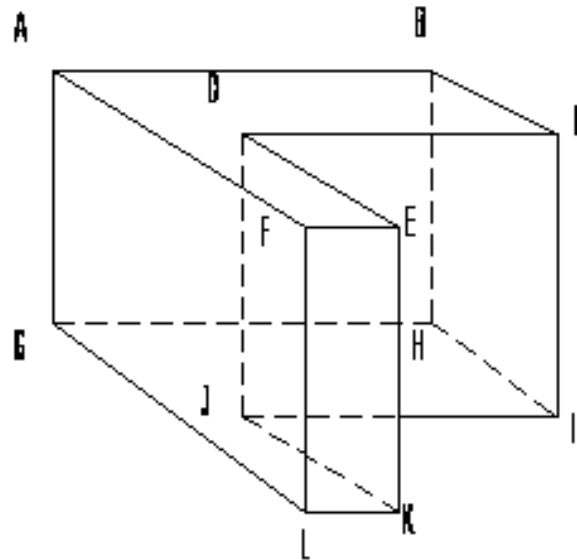
- Робертса (1963)
- Алгоритм Аппеля (1967)
- Вейлера-Айзертсона (1977)
- BSP-деревьев (1969-91)

## Алгоритмы 2D

- Построчного сканирования (1967)
- Варнока (1969)
- Трассировки лучей (1968)
- Плавающего горизонта (1972)
- «Художника» + Ньюэла (1972)
- Z-буфера (1974)
- A-буфера (1984)

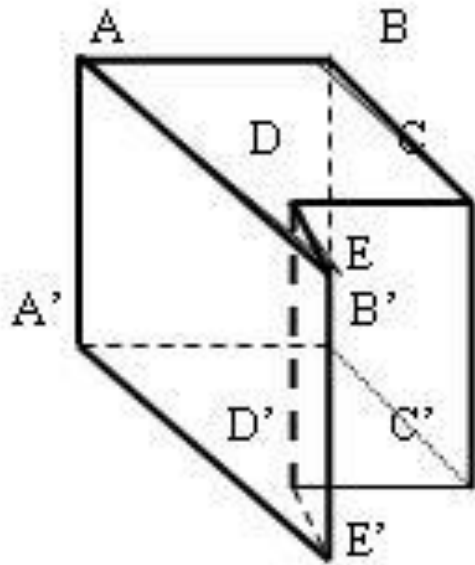
# Алгоритм Аппеля

- Артур Аппель (Arthur Appel) 1967 (в то время работал в IBM), создал алгоритм удаления невидимых ребер (в том числе и частично скрытых).



# Алгоритм Аппеля

Каждая точка видима только тогда, когда её **количественная невидимость** = 0.



**Контурная** линия многогранника - есть ломаная из рёбер, для которых одна грань - лицевая, а другая - нелицевая. Например:  $ABCC'D'DEE'A'A$

Количественная невидимость точек ребра изменяется, на 1 при прохождении ребра позади контурной линии.

# Классификация алгоритмов

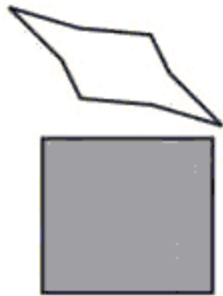
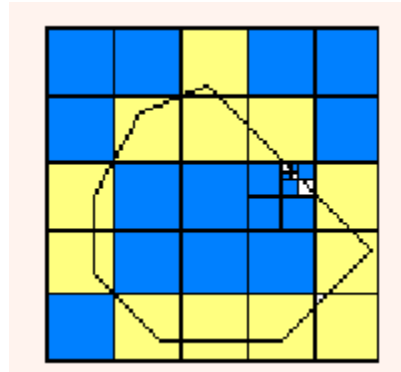
## Алгоритмы 3D

- Робертса (1963)
- Алгоритм Аппеля (1967)
- Вейлера-Айзертонна (1977)
- BSP-деревьев (1969-91)

## Алгоритмы 2D

- Построчного сканирования (1967)
- Варнока (1969)
- Трассировки лучей (1968)
- Плавающего горизонта (1972)
- «Художника» + Ньюэла (1972)
- Z-буфера (1974)
- A-буфера (1984)

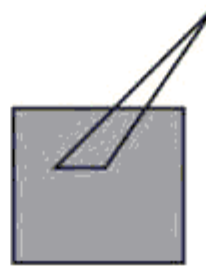
# Алгоритм Варнока (1969)



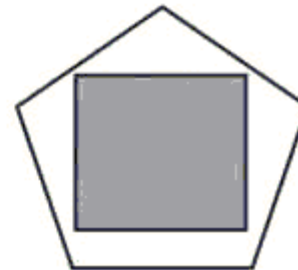
a)



b)



c)



d)

# Классификация алгоритмов

## Алгоритмы 3D

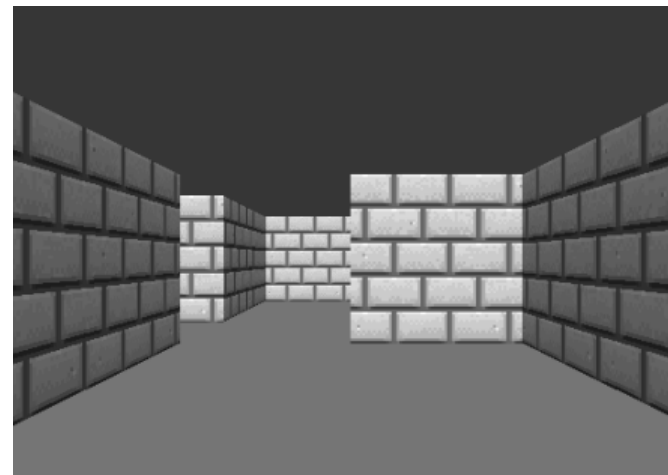
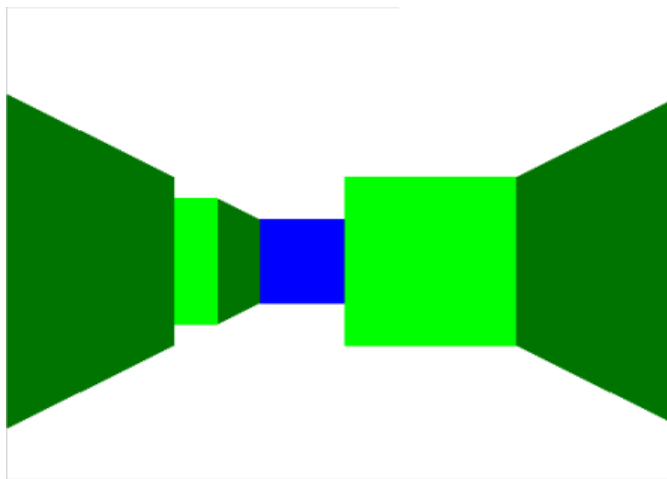
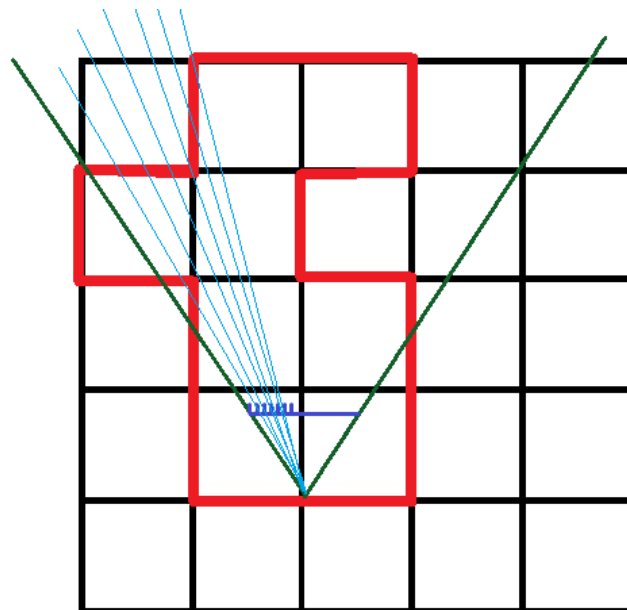
- Робертса (1963)
- Алгоритм Аппеля (1967)
- Вейлера-Айзертонна (1977)
- BSP-деревьев (1969-91)

## Алгоритмы 2D

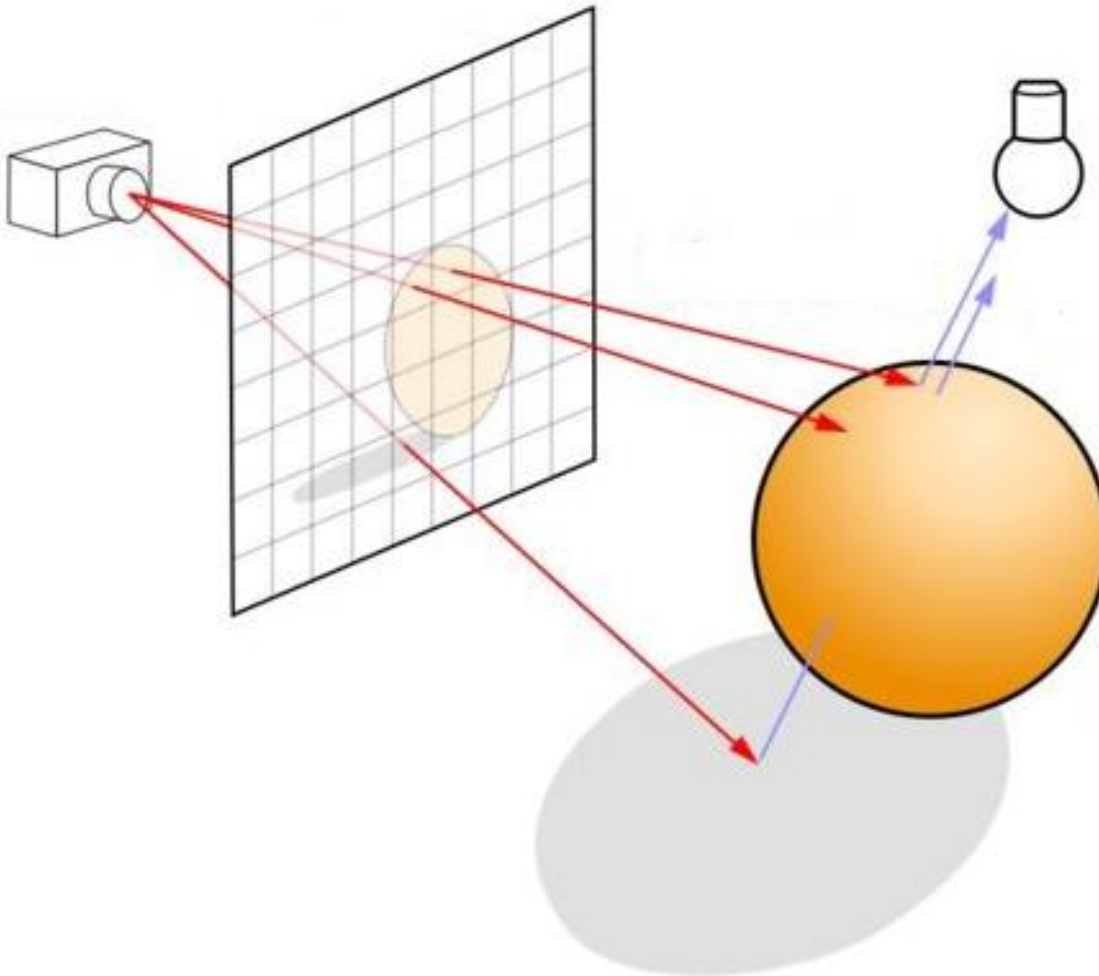
- Варнока (1969)
- Построчного сканирования (1967)
- Трассировки лучей (1968)
- Плавающего горизонта (1972)
- «Художника» + Ньюэла (1972)
- Z-буфера (1974)
- A-буфера (1984)



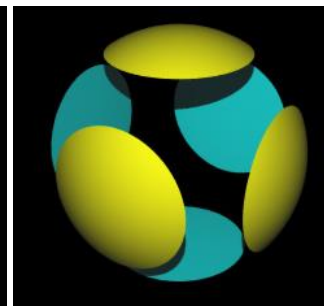
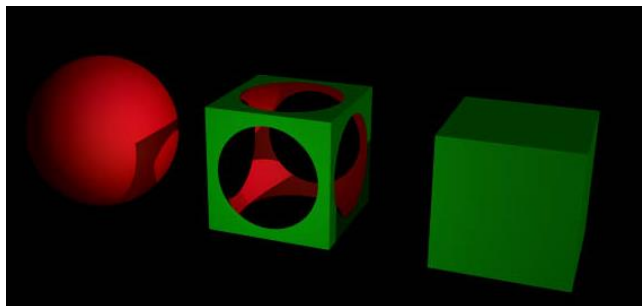
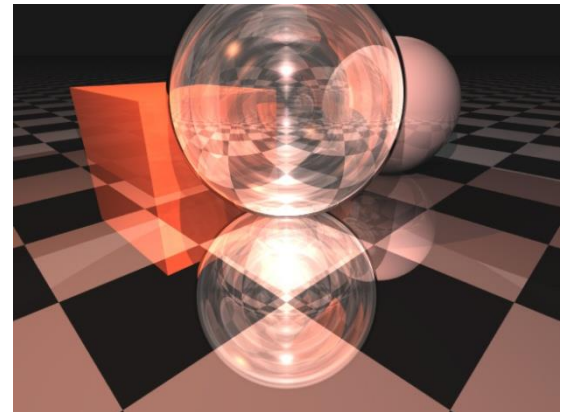
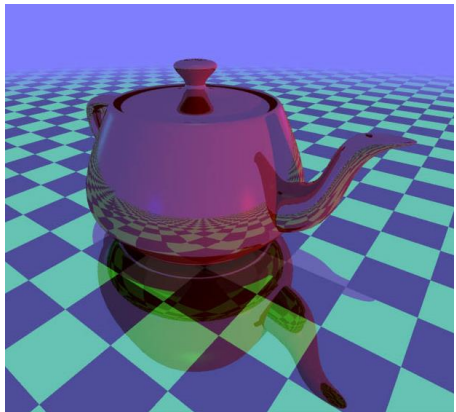
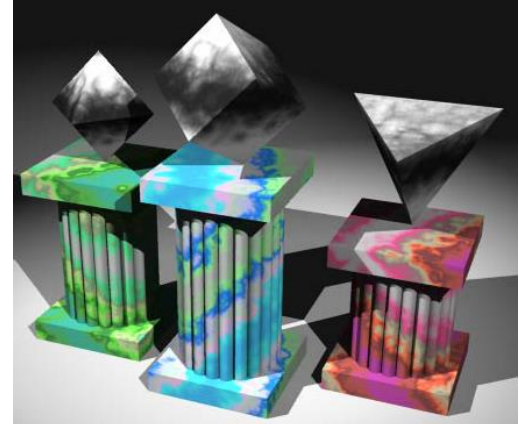
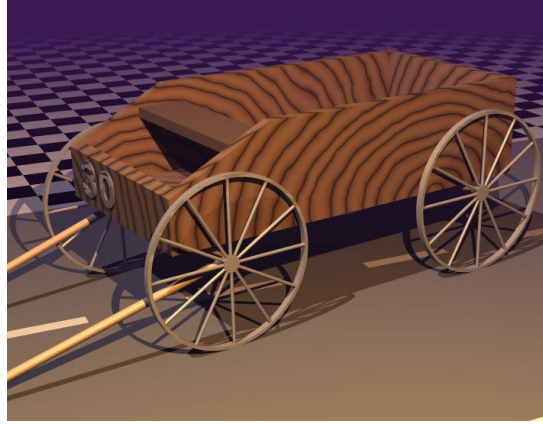
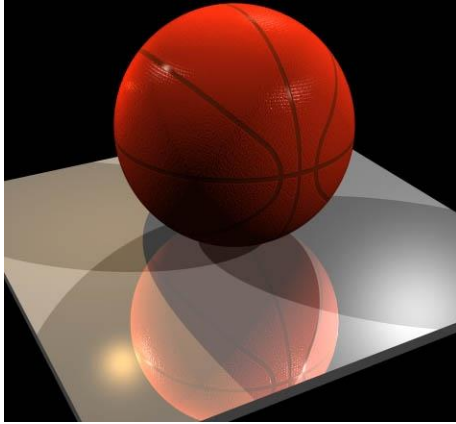
# Трассировка лучей. Ray casting



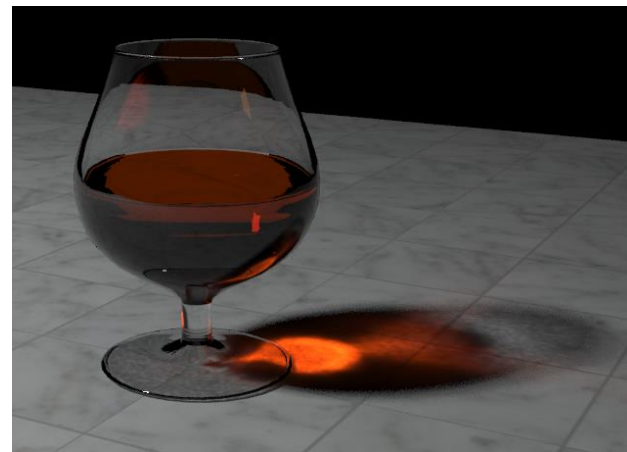
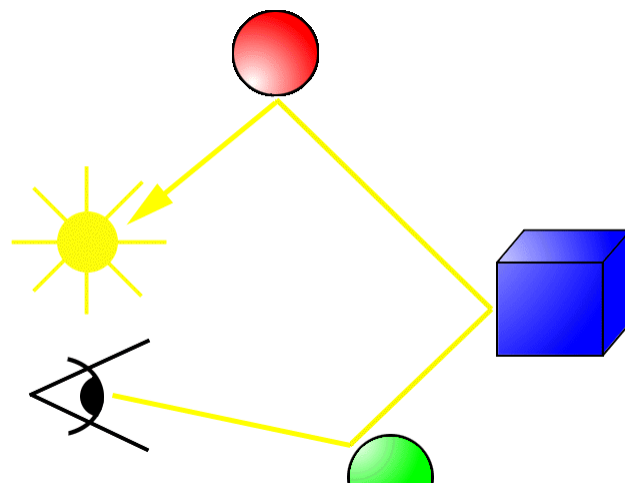
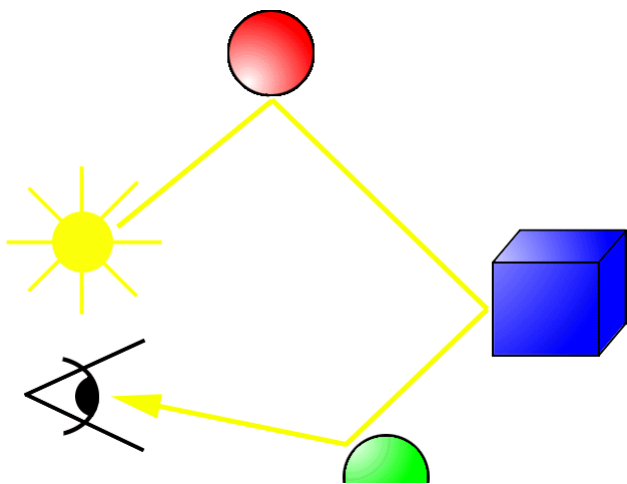
# Трассировка лучей. Ray tracing



# Ray tracing



# Forward vs Backward



# Классификация алгоритмов

## Алгоритмы 3D

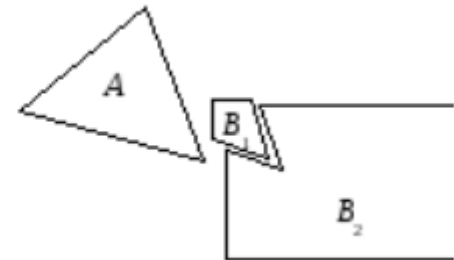
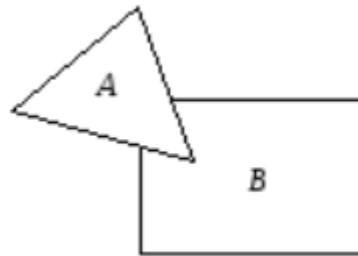
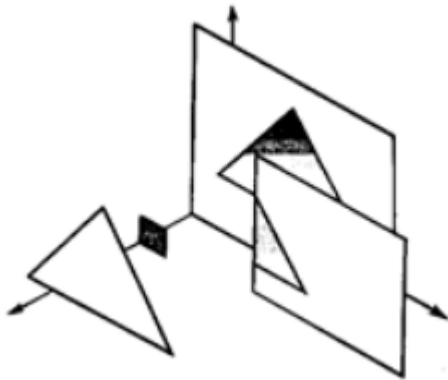
- Робертса (1963)
- Алгоритм Аппеля (1967)
- Вейлера-Айзертонна (1977)
- BSP-деревьев (1969-91)

## Алгоритмы 2D

- Построчного сканирования (1967)
- Варнока (1969)
- Трассировки лучей (1968)
- Плавающего горизонта (1972)
- «Художника» + Ньюэла (1972)
- Z-буфера (1974)
- A-буфера (1984)

# Алгоритм Вейлера-Азертона

- Предварительная сортировка по глубине.
- Отсечение по границе ближайшего к точке наблюдения многоугольника.
- Удаление многоугольников, экранируемых более близкими к точке наблюдения многоугольниками.
- Если требуется, то рекурсивное разбиение и новая сортировка.



# Классификация алгоритмов

## Алгоритмы 3D

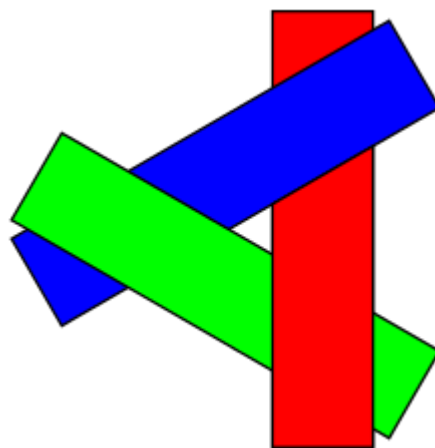
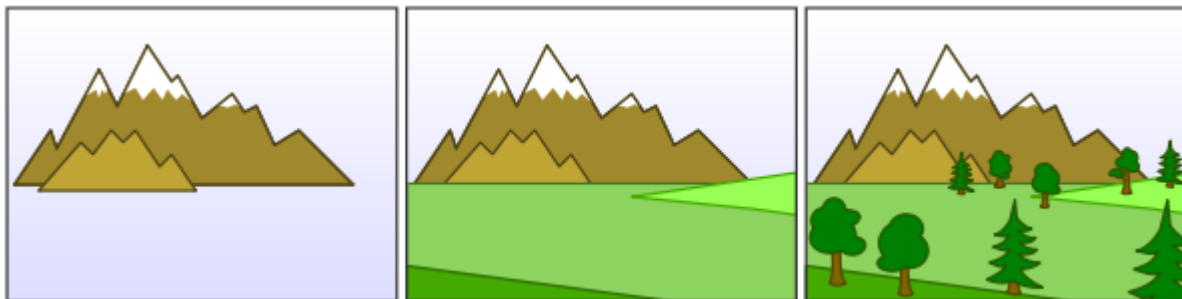
- Робертса (1963)
- Алгоритм Аппеля (1967)
- Вейлера-Айзертсона (1977)
- BSP-деревьев (1969-91)

## Алгоритмы 2D

- Построчного сканирования (1967)
- Варнока (1969)
- Трассировки лучей (1968)
- Плавающего горизонта (1972)
- «Художника» + Ньюэла(1972)
- Z-буфера (1974)
- A-буфера (1984)

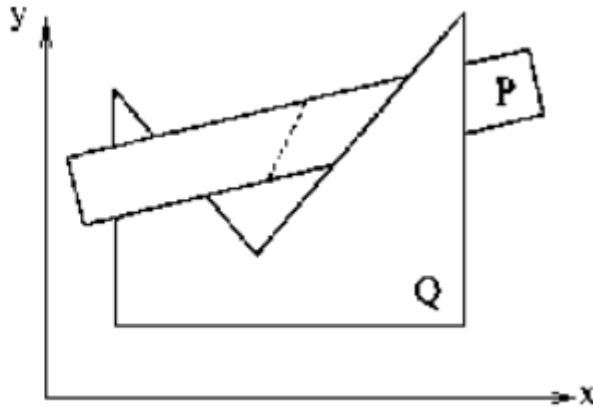
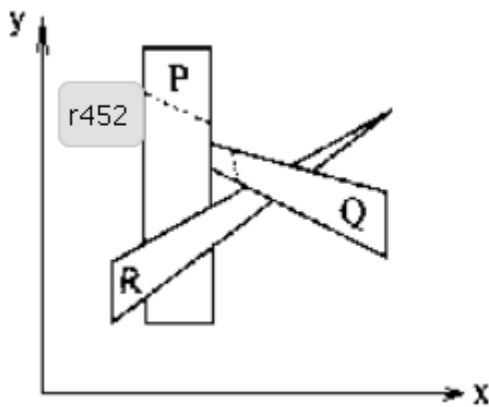
# Алгоритм художника + Ньюэла (1972)

## Алгоритм Ньюэла-Ньюэла-Санча





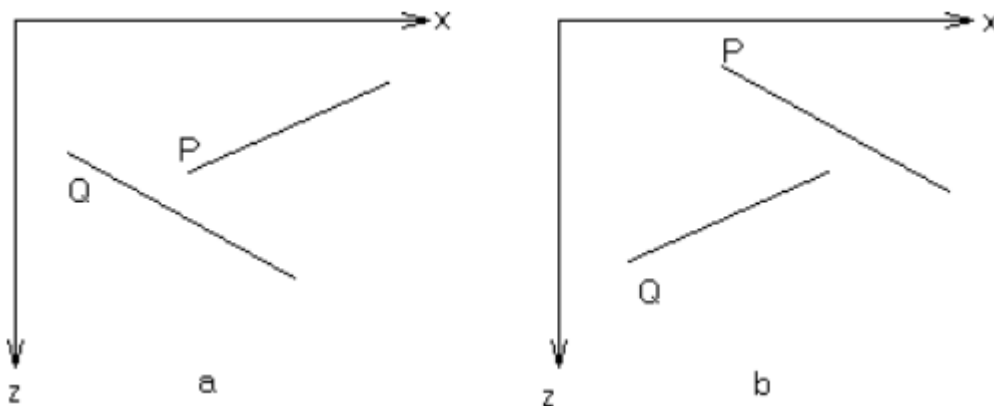
# Алгоритм Ньюэла-Ньюэла-Санча



# Тесты для перекрывающихся многоугольников

- Верно ли, что прямоугольные объемлющие оболочки  $P$  и  $Q$  не перекрываются по  $x$  ?
- Верно ли, что прямоугольные оболочки  $P$  и  $Q$  не перекрываются по  $y$  ?
- Верно ли, что  $P$  целиком лежит по ту сторону плоскости, несущей  $Q$ , которая расположена дальше от точки наблюдения?
- Верно ли, что  $Q$  целиком лежит по ту сторону плоскости, несущей  $P$ , которая ближе к точке наблюдения?
- Верно ли, что проекции  $P$  и  $Q$  не перекрываются?

Каждый из этих тестов применяется к каждому элементу  $\{Q\}$ . Если ни один из них не дает положительного ответа, то  $P$  может закрывать  $Q$ .



# Классификация алгоритмов

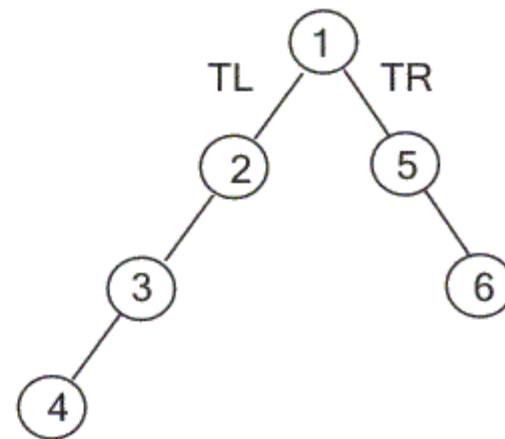
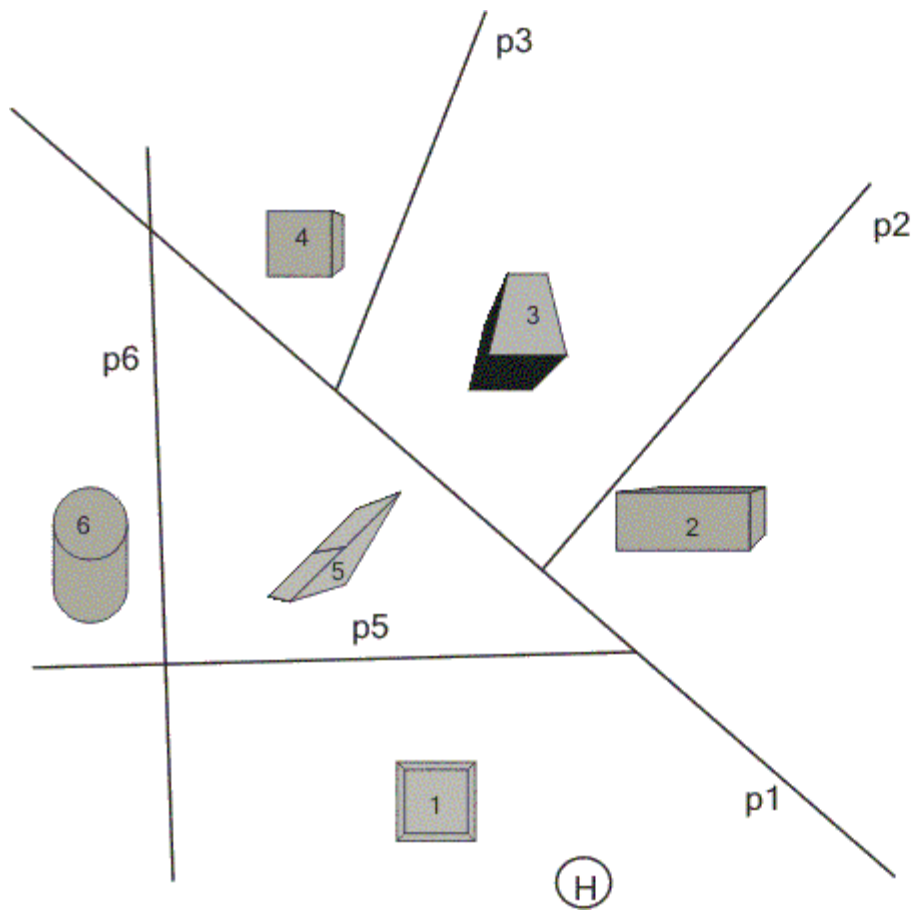
## Алгоритмы 3D

- Робертса (1963)
- Алгоритм Аппеля (1967)
- Вейлера-Айзертсона (1977)
- BSP-деревьев (1969-91)

## Алгоритмы 2D

- Построчного сканирования (1967)
- Варнока (1969)
- Трассировки лучей (1968)
- Плавающего горизонта (1972)
- «Художника» + Ньюэла (1972)
- Z-буфера (1974)
- A-буфера (1984)

# Метод двоичного разбиения пространства



# Метод двоичного разбиения пространства

Рисуем дерево ( $T$ ) :

Если наблюдатель находится в положительной полуплоскости, то:

Если правое поддерево  $TR$  не пусто, рисуем дерево ( $TR$ ).

Рисуем корневую грань.

Если левое поддерево  $TL$  не пусто, рисуем дерево ( $TL$ ).

Иначе

Если левое поддерево  $TL$  не пусто, рисуем дерево ( $TL$ ).

Рисуем корневую грань.

Если правое поддерево  $TR$  не пусто, рисуем дерево ( $TR$ ).

# Классификация алгоритмов

## Алгоритмы 3D

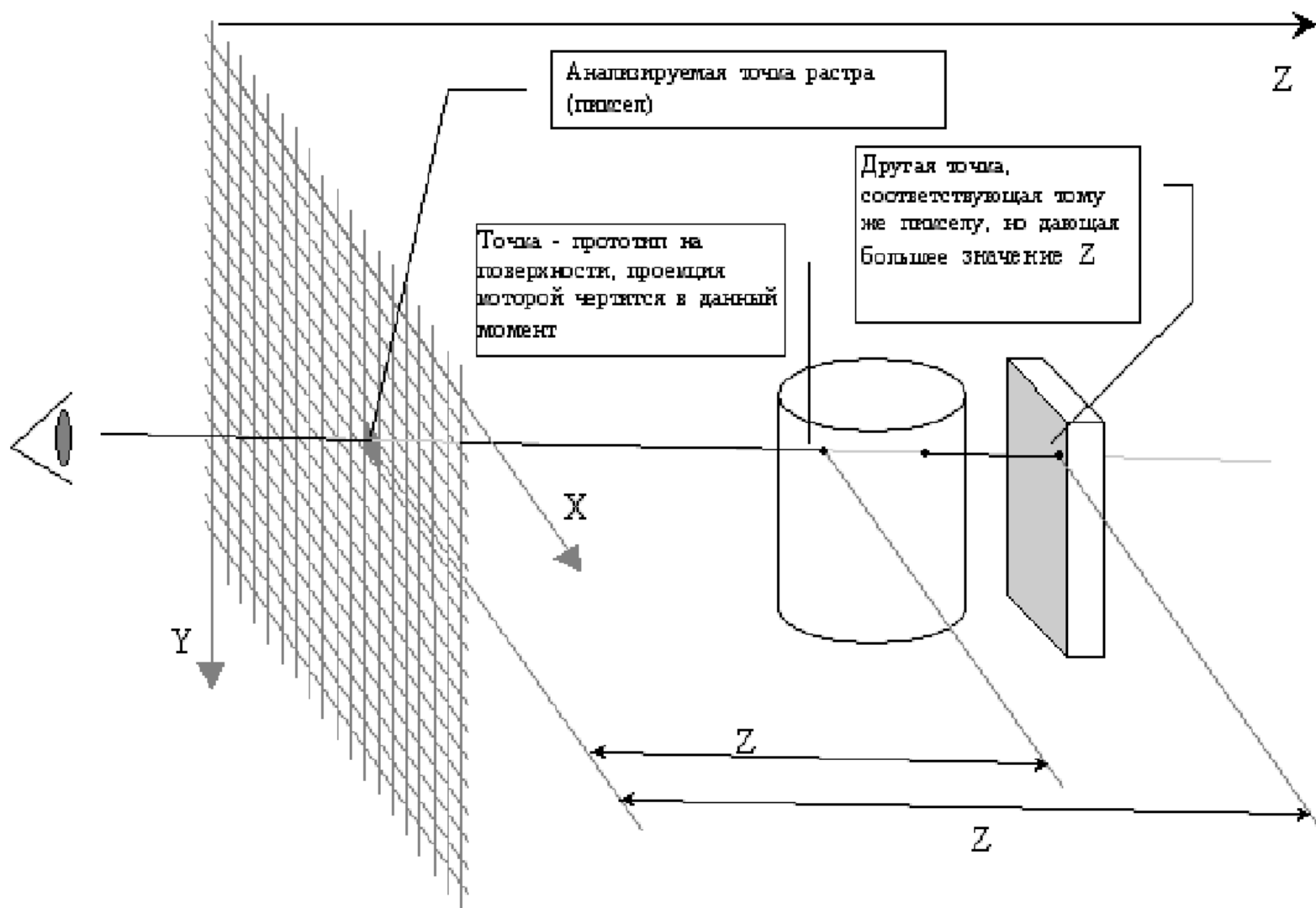
- Робертса (1963)
- Алгоритм Аппеля (1967)
- Вейлера-Айзертсона (1977)
- BSP-деревьев (1969-91)

## Алгоритмы 2D

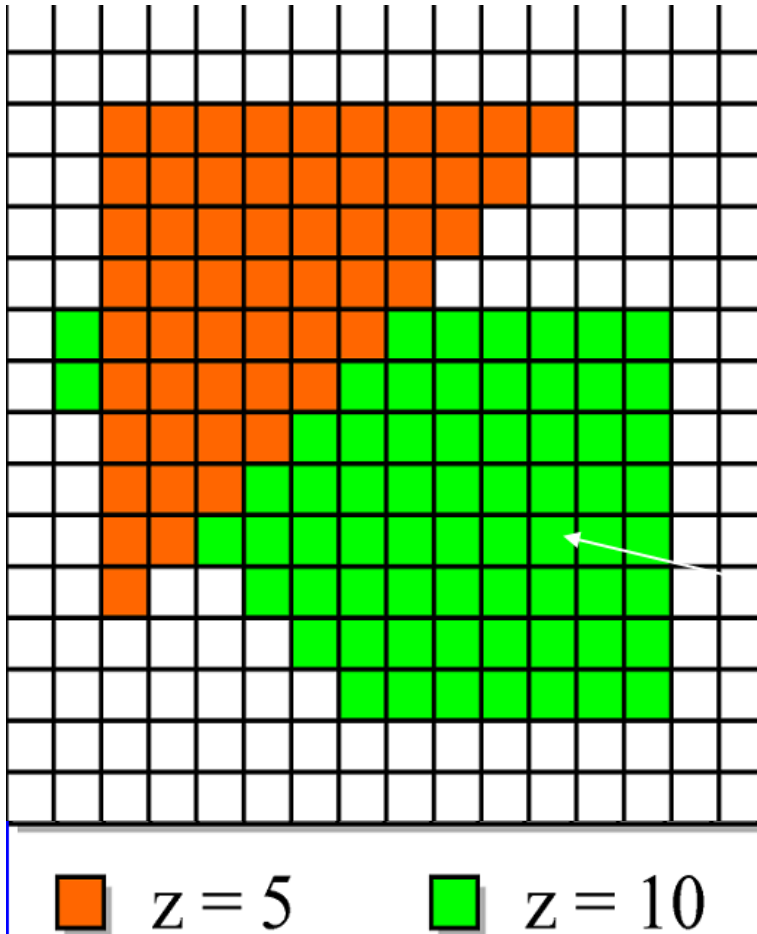
- Построчного сканирования (1967)
- Варнока (1969)
- Трассировки лучей (1968)
- Плавающего горизонта (1972)
- «Художника» + Ньюэла (1972)
- Z-буфера (1974)
- A-буфера (1984)

# Метод z-буфера

- Эд Кэтмул 1974



# Метод z-буфера



Изначально, буфер  
инициализируется значением

$$z = z_{\max}$$

for each pixel in polygon:

if (pixel  $z <$  buffer  $z$ ) then

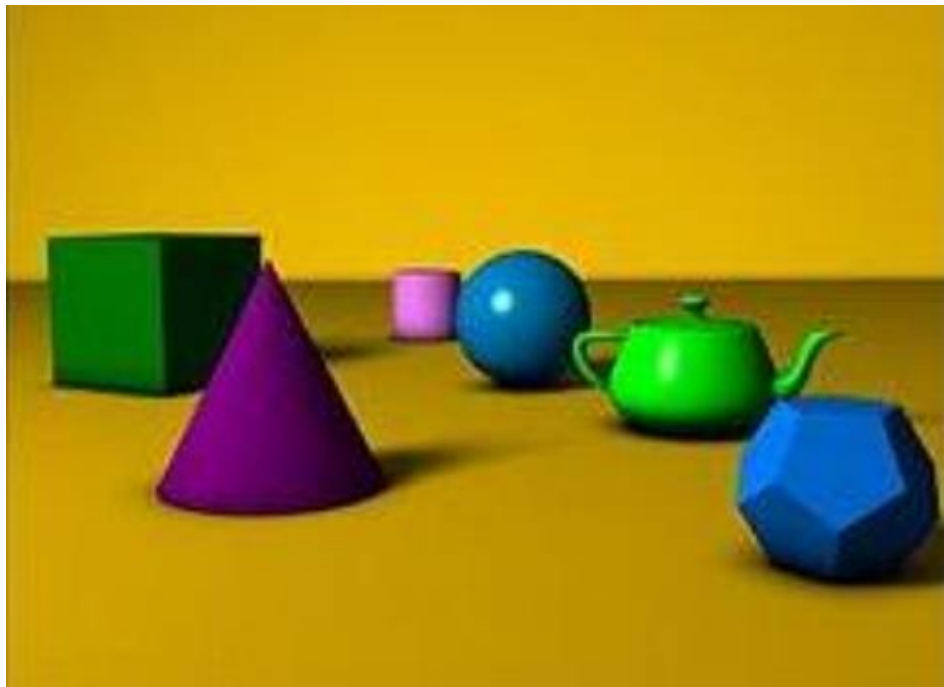
buffer  $z =$  pixel  $z$

fill pixel in raster



# Метод z-буфера

- Буфер кадра размером  $512 \times 512 \times 24$  бит в комбинации с z-буфером размером  $512 \times 512 \times 20$  бит требует почти 1.5 мегабайт памяти.



# Формальное описание алгоритма z-буфера

- заполнить буфер кадра фоновым значением интенсивности или цвета
- заполнить z-буфер минимальным значением  $z$
- преобразовать каждый многоугольник в растровую форму в произвольном порядке;
- для каждого пиксела  $(x, y)$  в многоугольнике вычислить его глубину  $z(x, y)$
- сравнить глубину  $z(x, y)$  со значением  $Z$  буфер  $(x, y)$ , хранящимся в  $z$ -буфере в этой же позиции
- если  $z(x, y) > Z$  буфер  $(x, y)$ , то записать атрибут этого многоугольника (интенсивность, цвет и т. п.) в буфер кадра и заменить  $Z$  буфер  $(x, y)$  на  $z(x, y)$
- в противном случае никаких действий не производить
- в качестве предварительного шага там, где это целесообразно, применяется удаление нелицевых граней

# Почему z-буфер так популярен?

- Прост в реализации на «железе»
- Память для z-буфера уже не дорогая
- Разнородность используемых примитивов – не ограничиваемся только полигонами
- Нелимитированная возможная сложность сцены
- Отсутствие необходимости вычисления пересечений объектов сцены друг с другом

# Недостатки z-буфера

- Дополнительная память и дополнительные требования к каналу передачи данных (полосе пропускания)
- Напрасная трата времени на отрисовку невидимых объектов
- Недостаток точности Z- координат

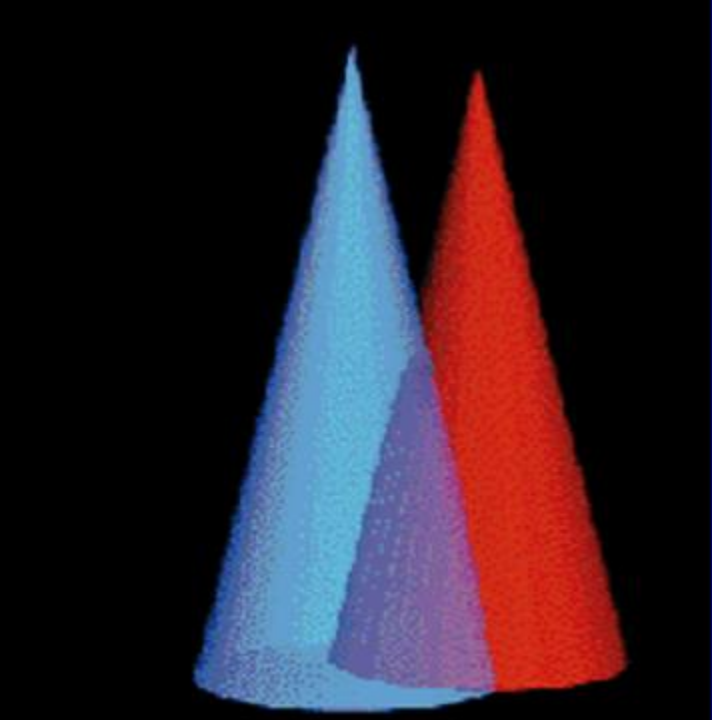
# Классификация алгоритмов

## Алгоритмы 3D

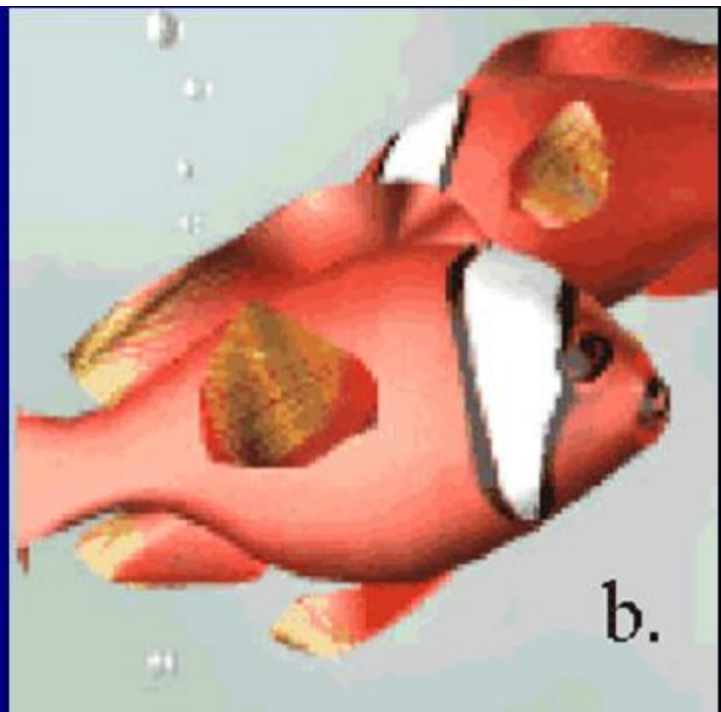
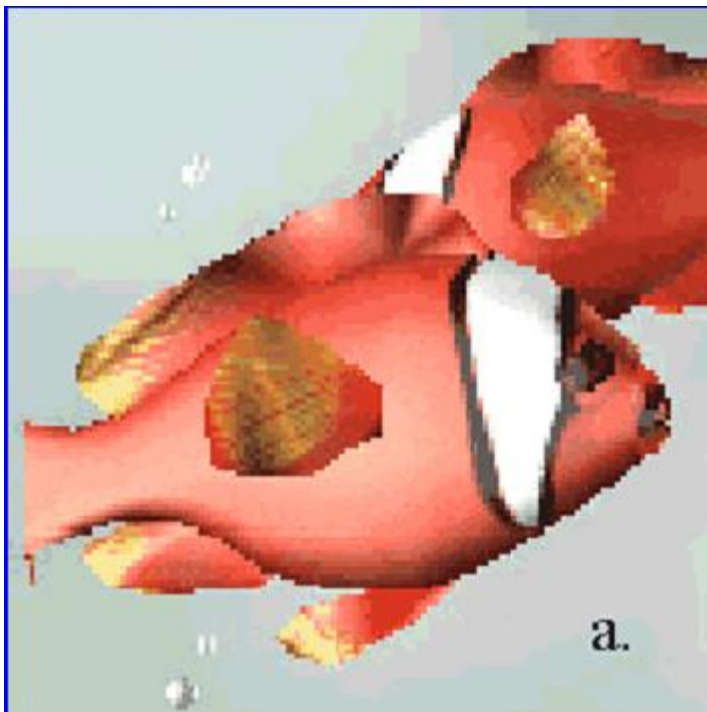
- Робертса (1963)
- Алгоритм Аппеля (1967)
- Вейлера-Айзертсона (1977)
- BSP-деревьев (1969-91)

## Алгоритмы 2D

- Построчного сканирования (1967)
- Варнока (1969)
- Трассировки лучей (1968)
- Плавающего горизонта (1972)
- «Художника» + Ньюэла (1972)
- Z-буфера (1974)
- A-буфера (1984)

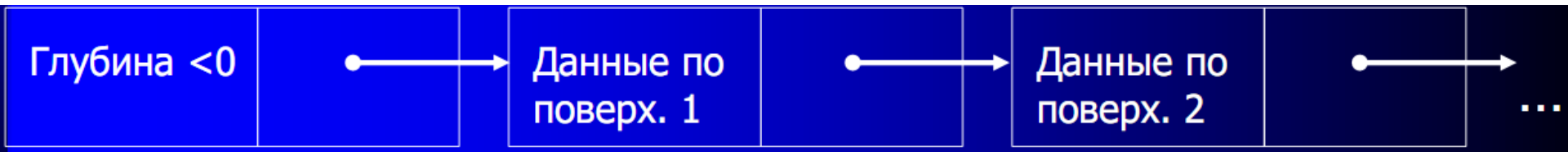


## Алгоритм А-буфера



# Алгоритм A-буфера

- Область буфера в алгоритме называется буфером накопления, так как в ней в дополнение к значениям глубин хранятся различные данные о поверхности



# Алгоритм A-буфера

Данные по поверхности включают следующие поля:

- значения интенсивностей RGB-компонентов
- параметр непрозрачности (процент прозрачности)
- глубина
- процент охвата площади
- идентификатор поверхности
- другие параметры, требуемые для визуализации поверхности.



# Классификация алгоритмов

## Алгоритмы 3D

- Робертса (1963)
- Алгоритм Аппеля (1967)
- Вейлера-Айзертсона (1977)
- BSP-деревьев (1969-91)

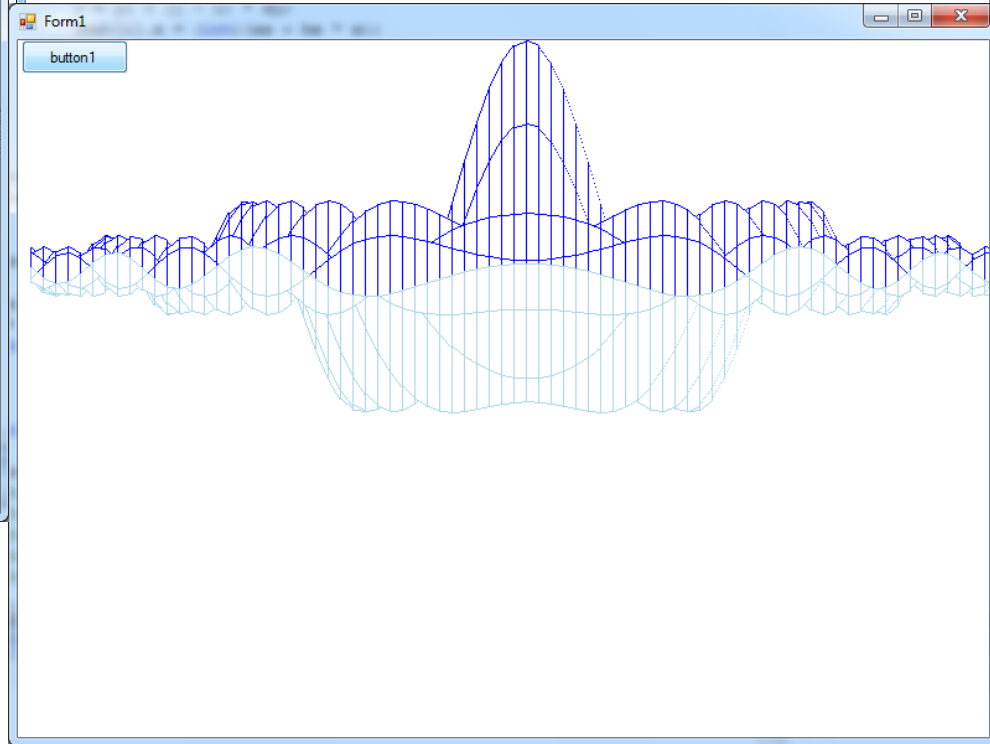
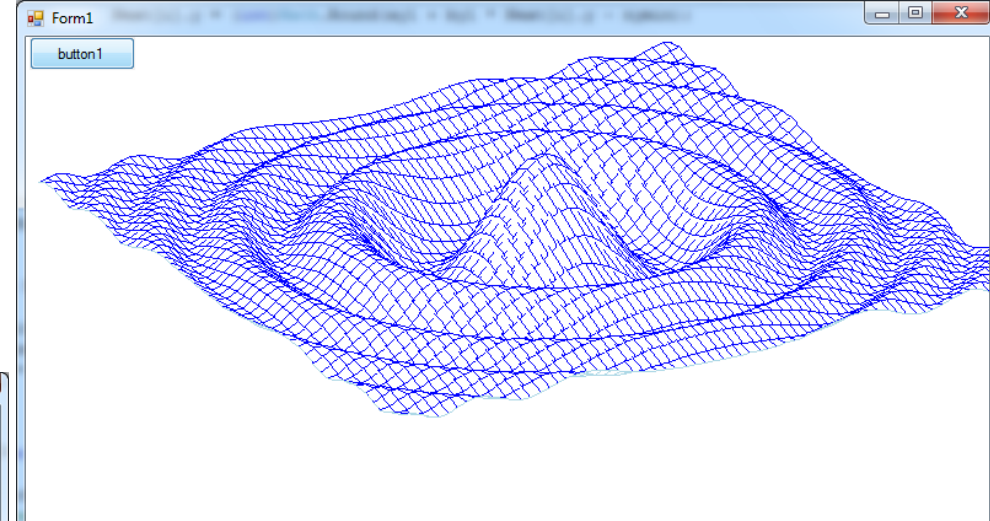
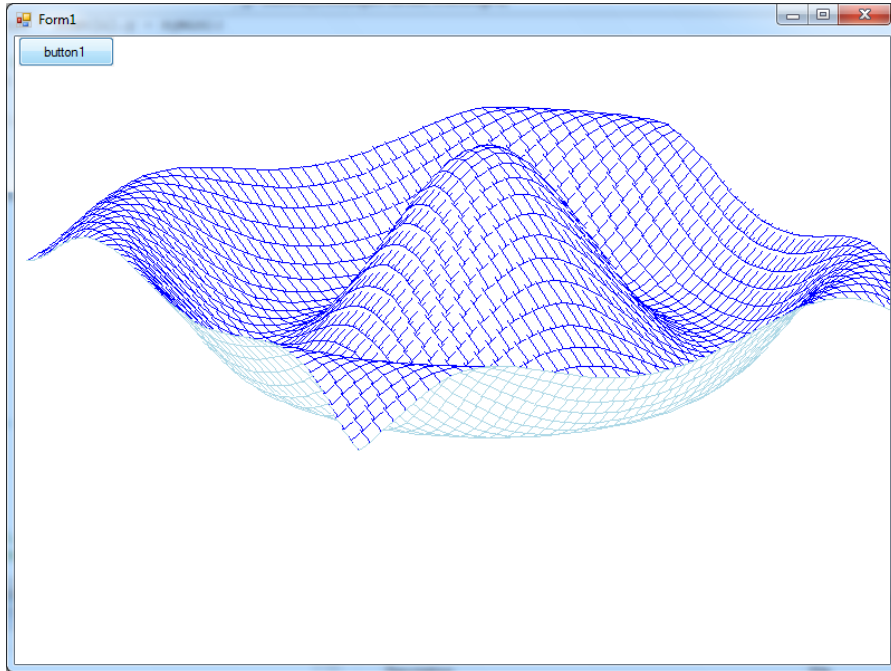
## Алгоритмы 2D

- Построчного сканирования (1967)
- Варнока (1969)
- Трассировки лучей (1968)
- Плавающего горизонта (1972)
- «Художника» + Ньюэла (1972)
- Z-буфера (1974)
- A-буфера (1984)

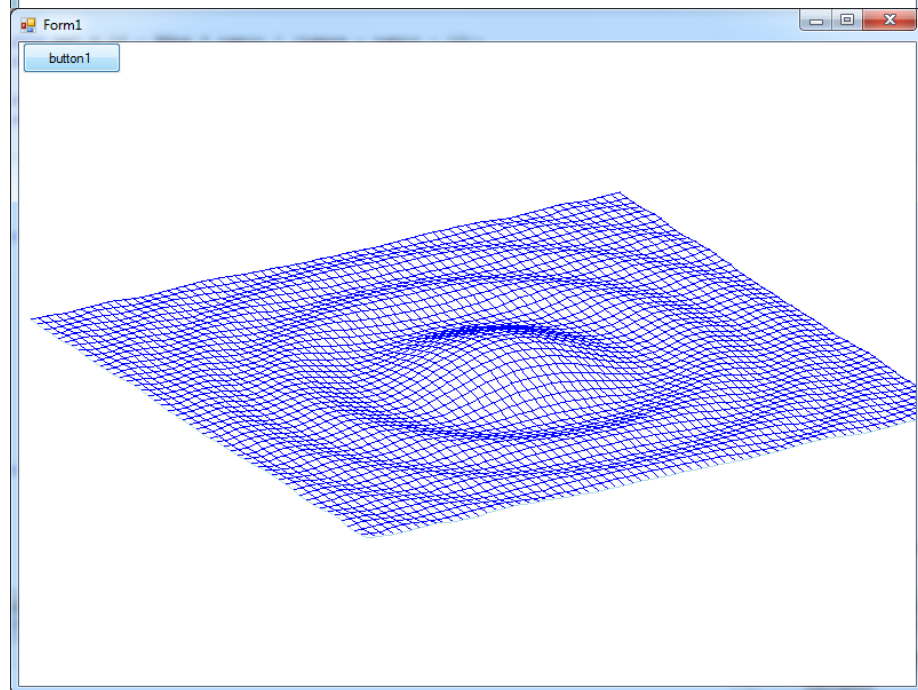
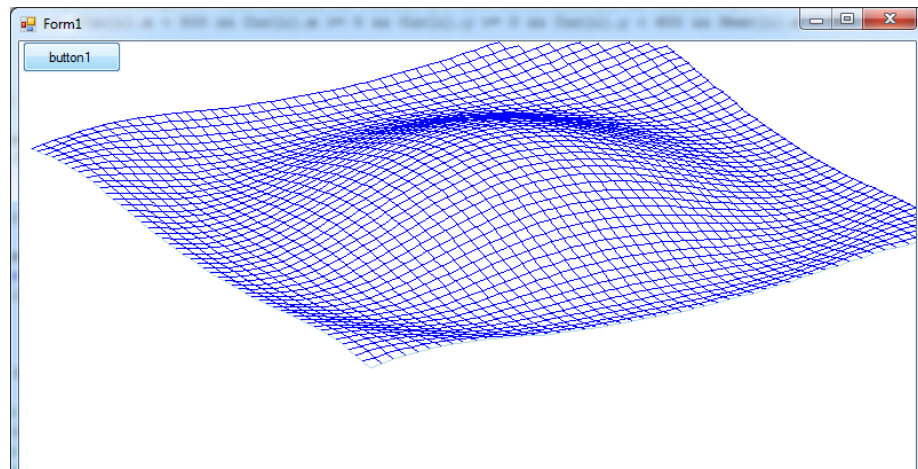
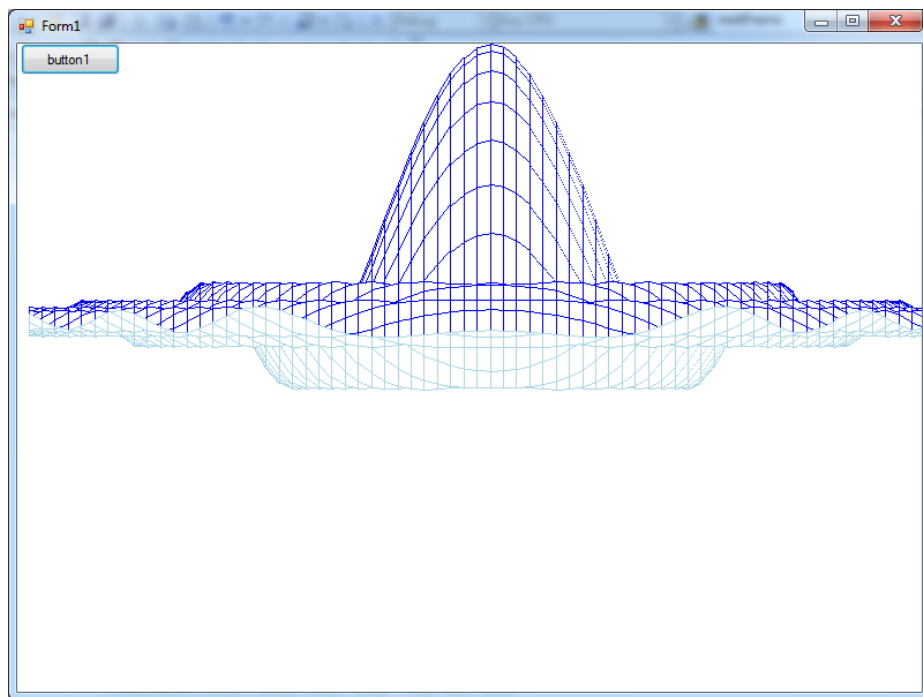
Графики функций  $f(x,y)$

Алгоритм плавающего горизонта

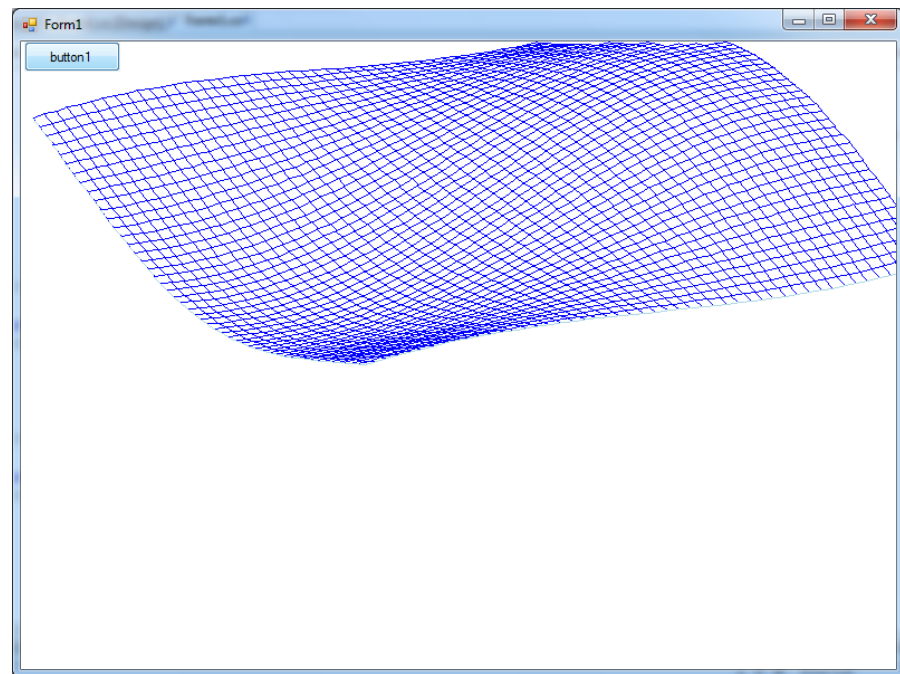
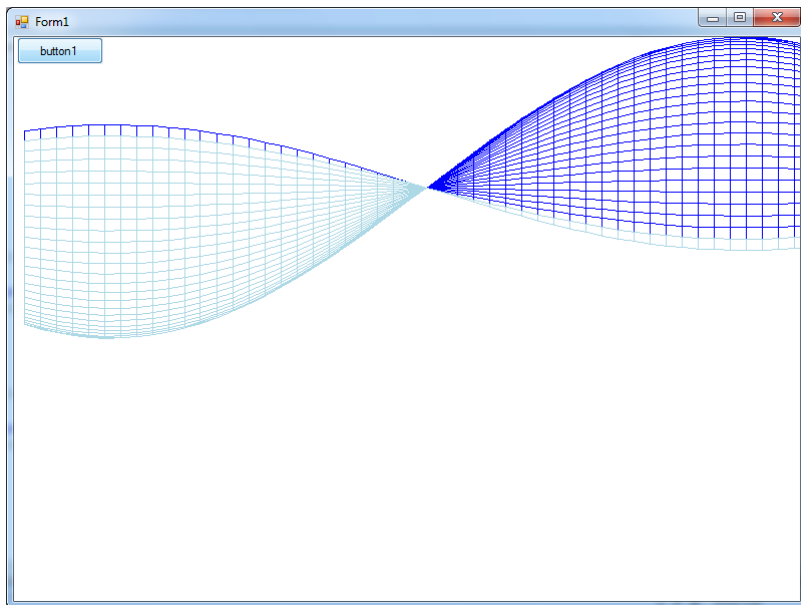
```
double r = x * x + y * y + 1;  
return 5 * (Math.Cos(r) / r + 0.1);
```



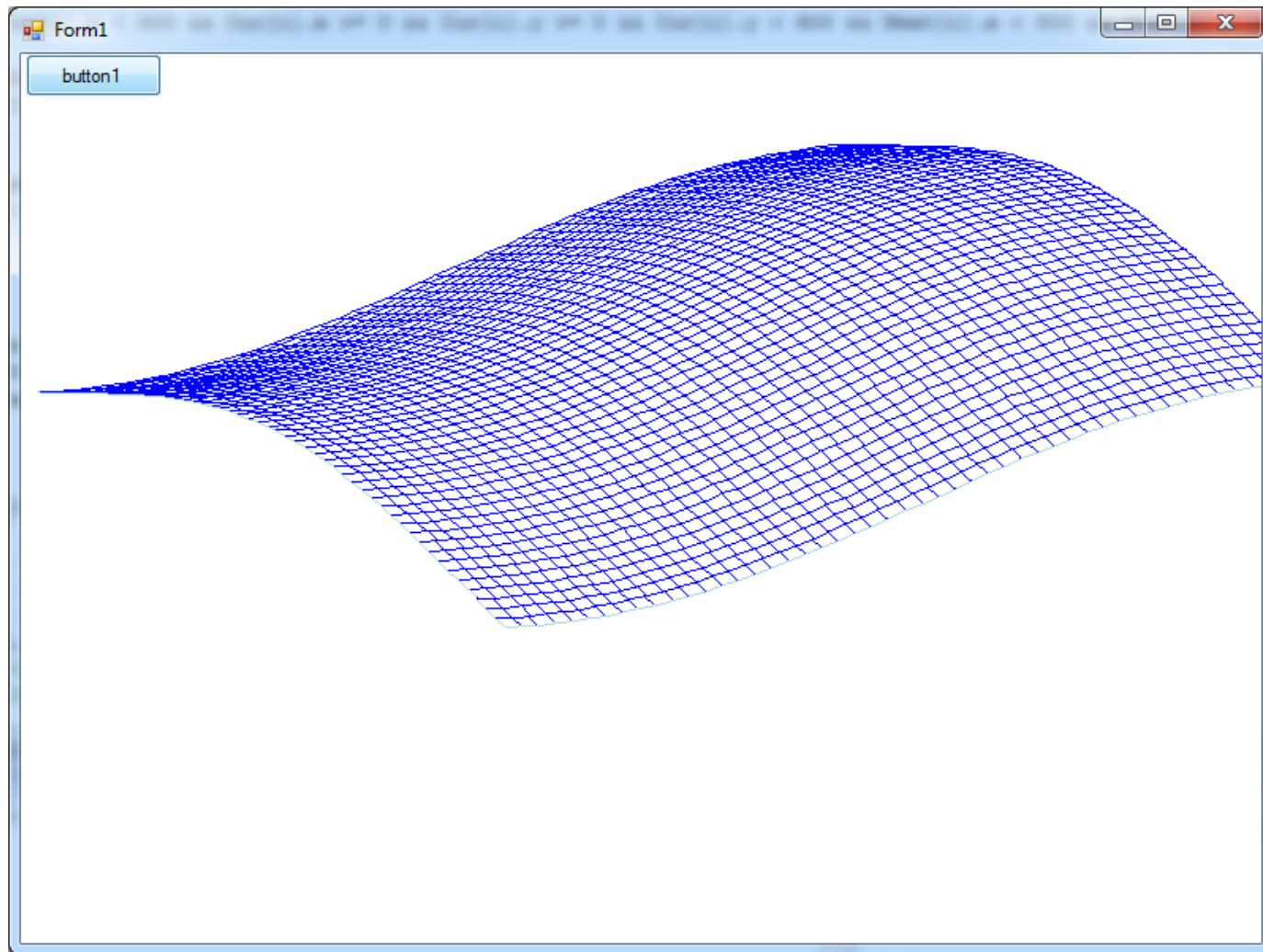
```
double r = x * x + y * y;  
return Math.Cos(r) / (r+1);
```



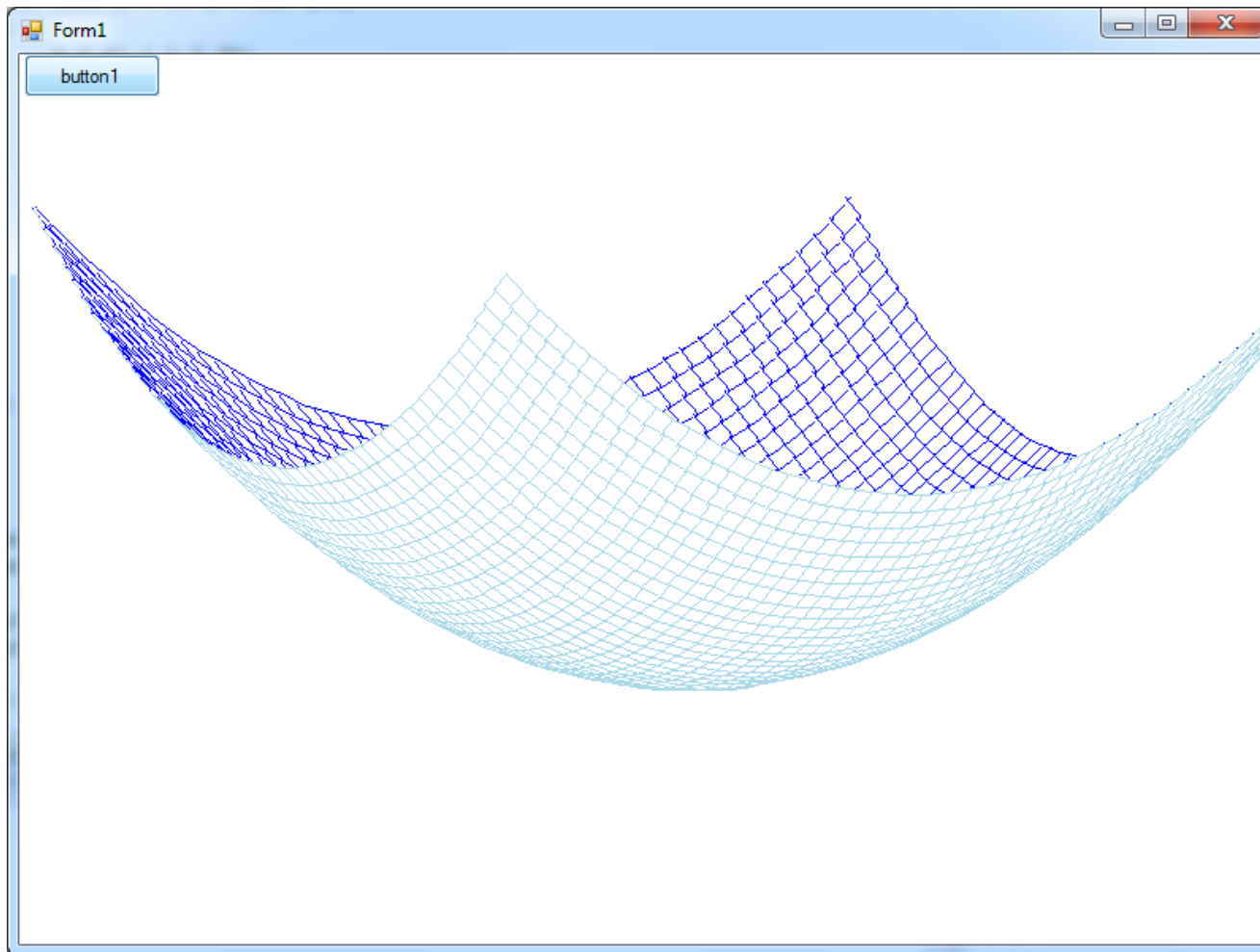
```
return Math.Sin(x) * Math.Cos(y);
```



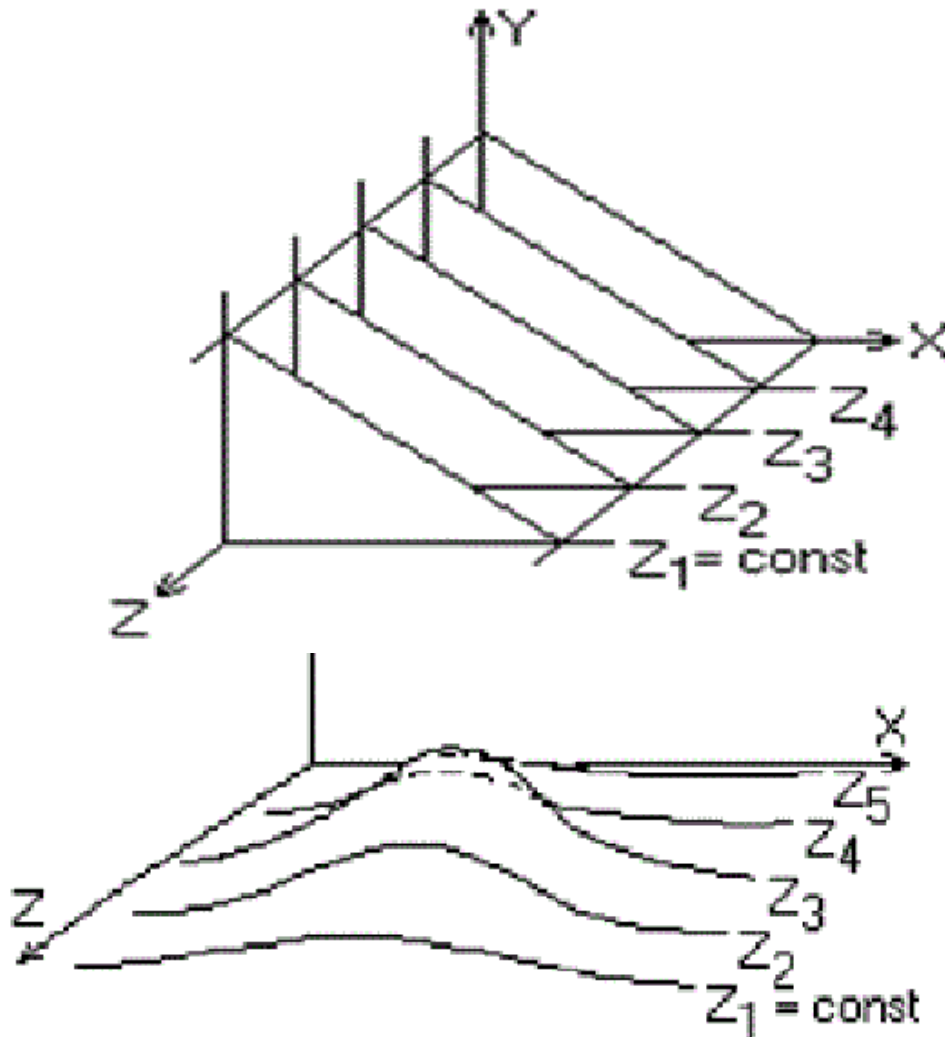
```
return Math.Sin(x)+Math.Cos(y);
```



```
return (x * x + y * y);
```



# Алгоритм плавающего горизонта

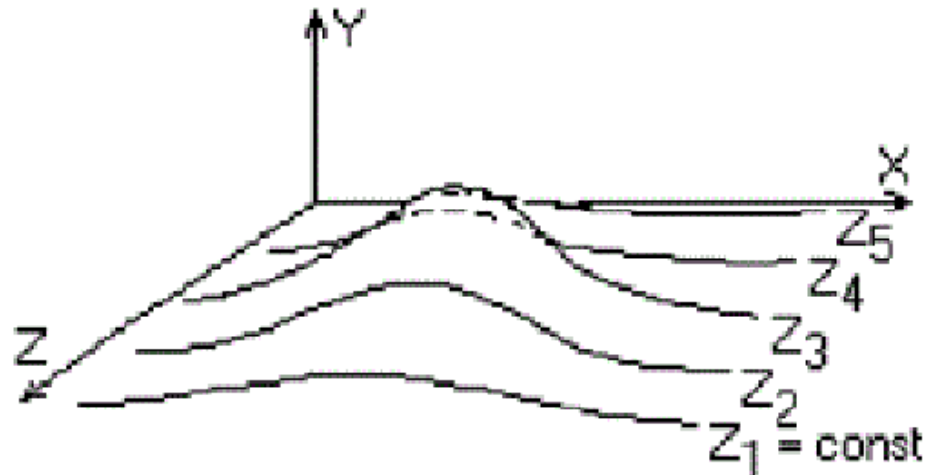


Главная идея данного алгоритма заключается в сведении трёхмерной задачи к двумерной путем пересечения исходной поверхности последовательностью параллельных секущих плоскостей, имеющих постоянные значения координат  $x$ ,  $y$  или  $z$ .



# Алгоритм плавающего горизонта

Функция  $F(x, y, z) = 0$  сводится к последовательности кривых, лежащих в каждой из этих параллельных плоскостей, например, последовательности  $y = f(x, z)$  или  $x = g(y, z)$ , где  $z$  постоянна на каждой из заданных параллельных плоскостей.



Для хранения максимальных значений  $y$  для каждого значения  $x$  используется массив, длина которого равна числу различных точек (пикселей) по оси  $x$ .

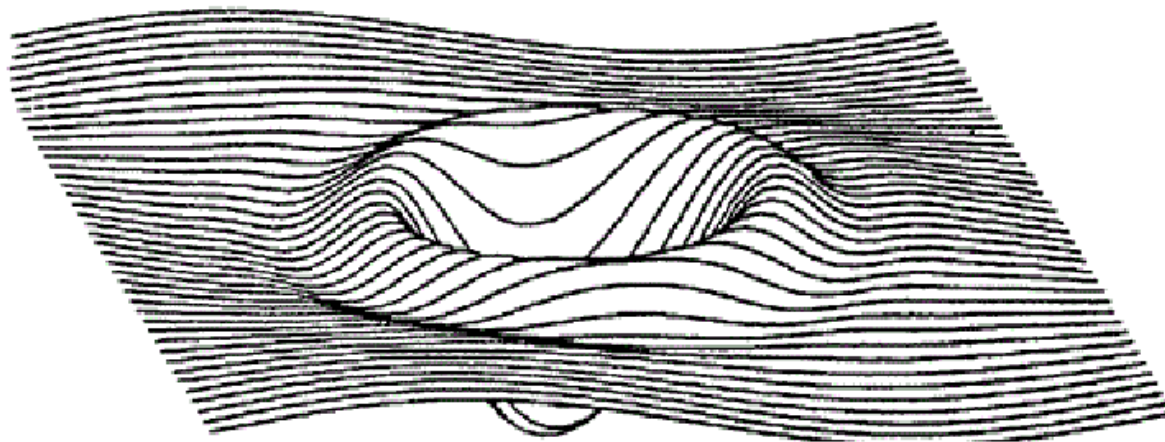
# Линии горизонта или контурные линии

$Y = f_k(X)$  – проекция  $y = f(x, z_k)$  на картинную плоскость,  
где  $(X, Y)$  – координаты на картинной плоскости.

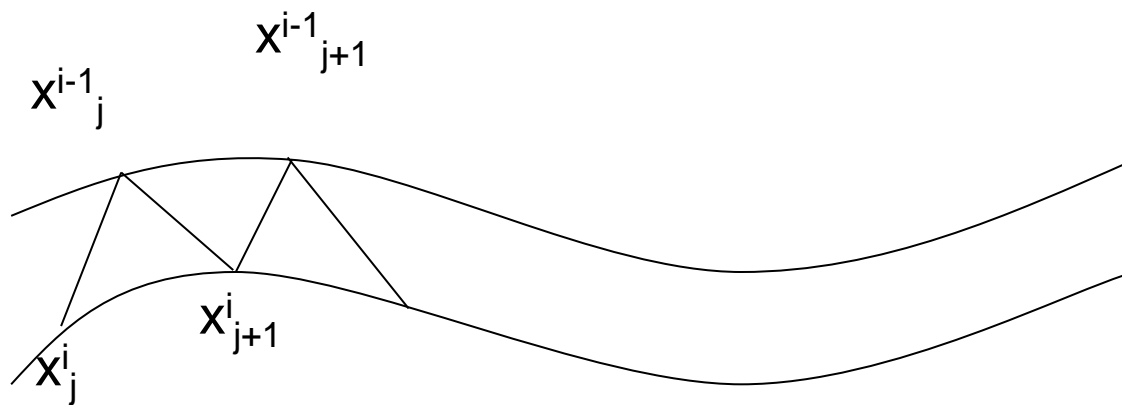
Контурные линии  $Y_{\max}^k(X)$  и  $Y_{\min}^k(X)$  определяются следующими соотношениями:

$$Y_{\max}^k(X) = \max Y_i(X)$$

$$Y_{\min}^k(X) = \min Y_i(X)$$



# Вывод сеткой



# Растровая реализация



Однако если для каждого значения  $x$  нельзя указать (вычислить) соответствующее ему значение  $y$ , то в таком случае используется линейная интерполяция значений  $y$  между известными значениями

# Формальная запись алгоритма

- Если на текущей плоскости при некотором заданном значении  $x$  соответствующее значение  $y$  на кривой больше максимума или меньше минимума по  $y$  для всех предыдущих кривых при этом  $x$ , то текущая кривая видима. В противном случае она невидима.
- Если на участке от предыдущего  $x_n$  до текущего  $x_{n+k}$  значения  $x$  видимость кривой изменяется, то вычисляется точка пересечения  $x_i$ . Или можно использовать алгоритм Брезенхема
- Если на участке от  $x_n$  до  $x_{n+k}$  сегмент кривой полностью видим, то он изображается целиком; если он стал невидимым, то изображается фрагмент от  $x_n$  до  $x_i$ ; если же он стал видимым, то изображается фрагмент от  $x_i$  до  $x_{n+k}$ .
- Заполнить массивы верхнего и нижнего плавающих горизонтов.